

FIG. 2

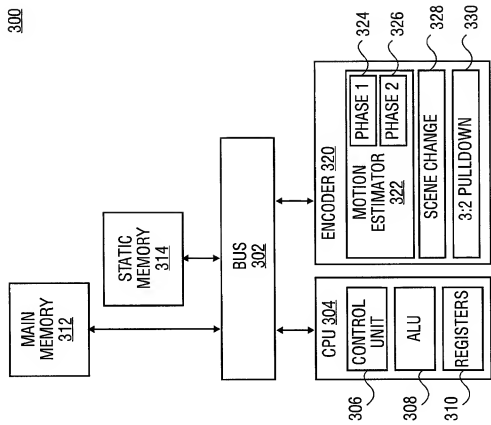


FIG. 3A

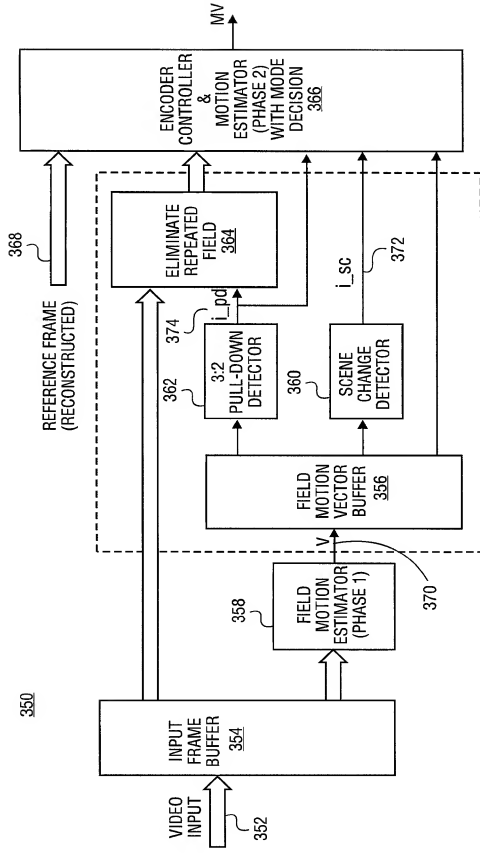


FIG. 3B

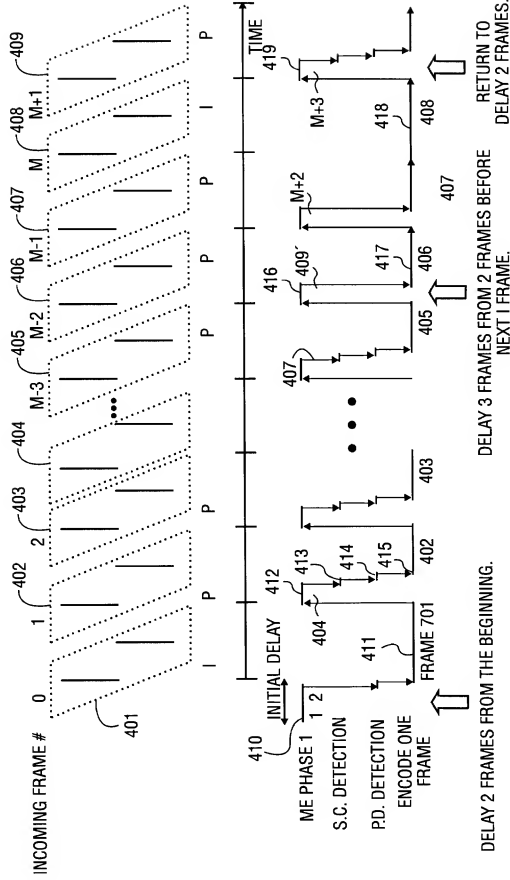
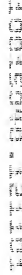
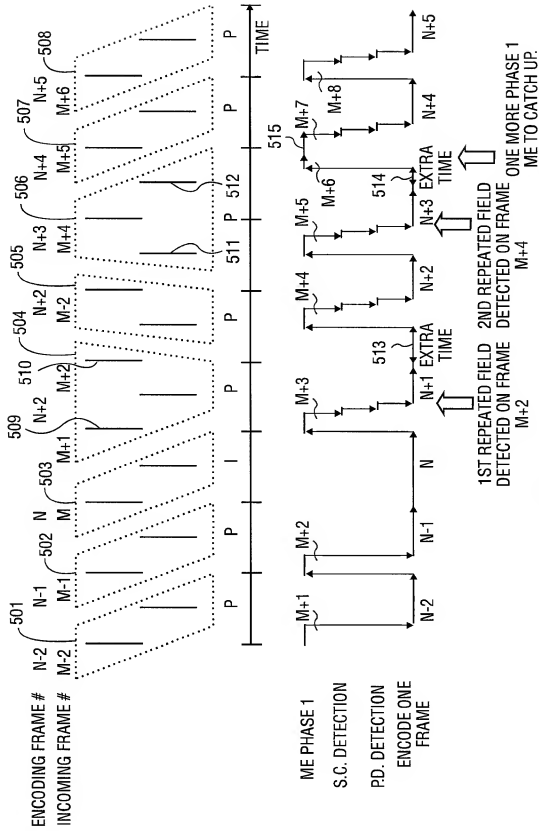


FIG. 4



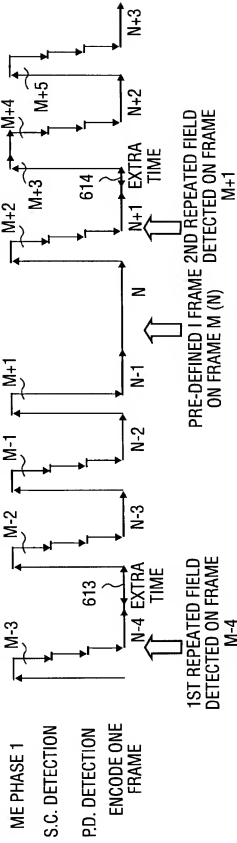
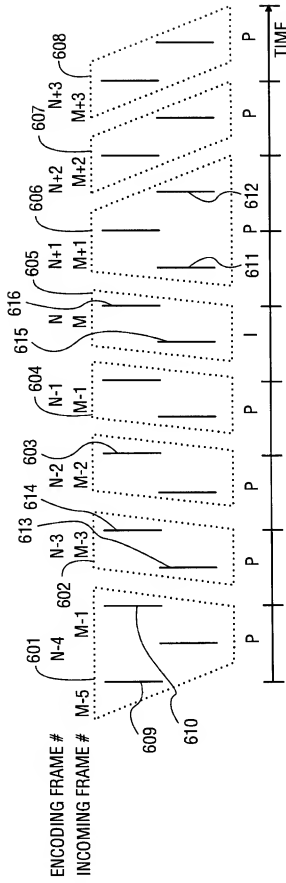


FIG. 6

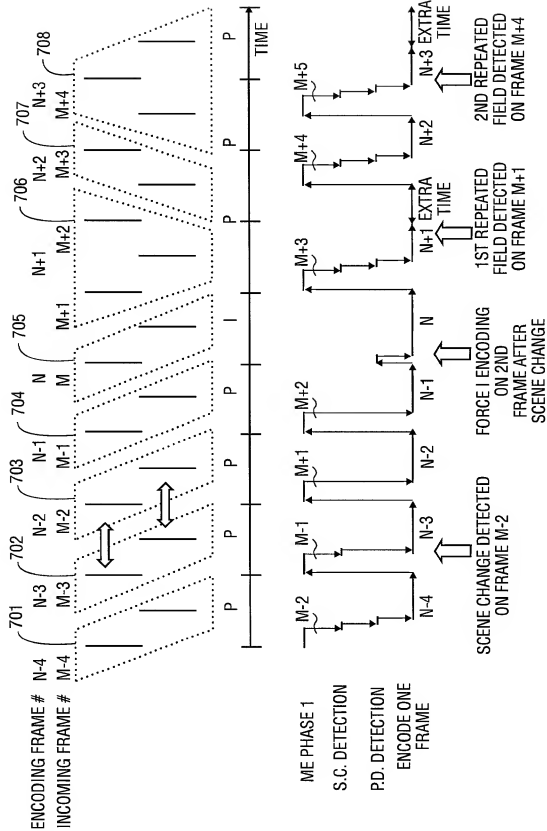


FIG. 7

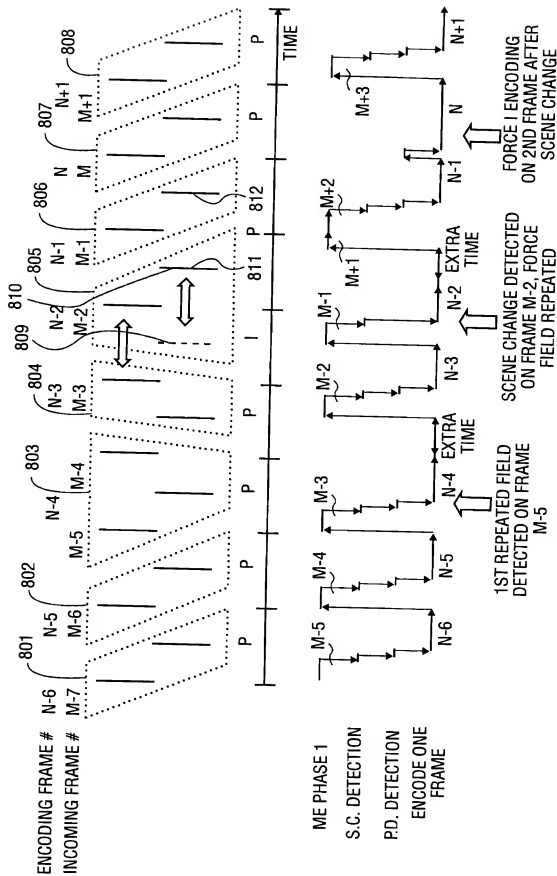


FIG. 8

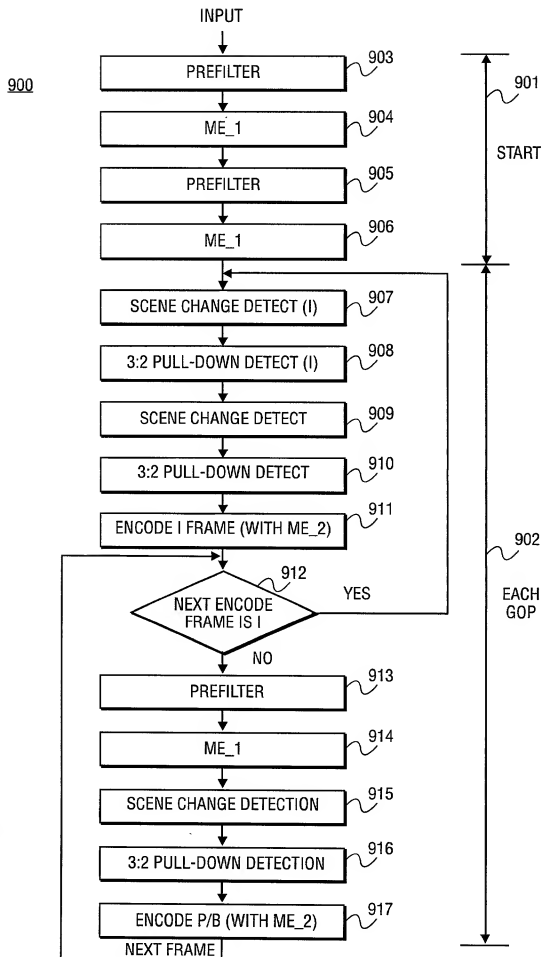


FIG. 9

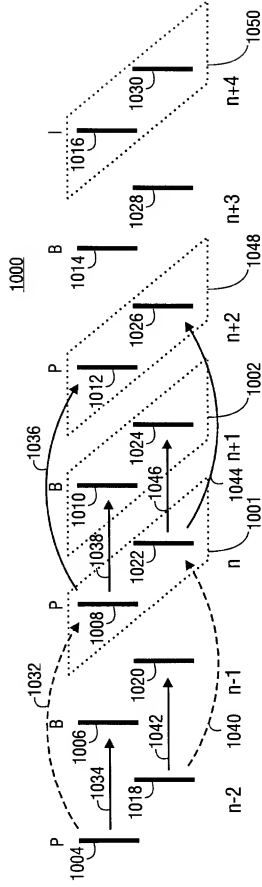


FIG. 10

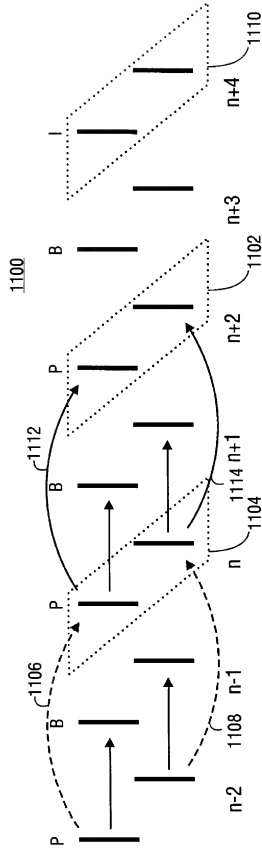


FIG. 11

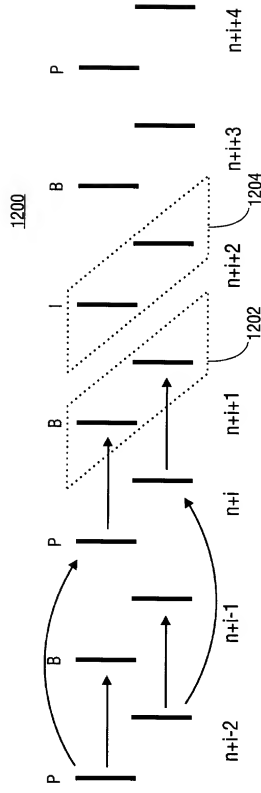


FIG. 12

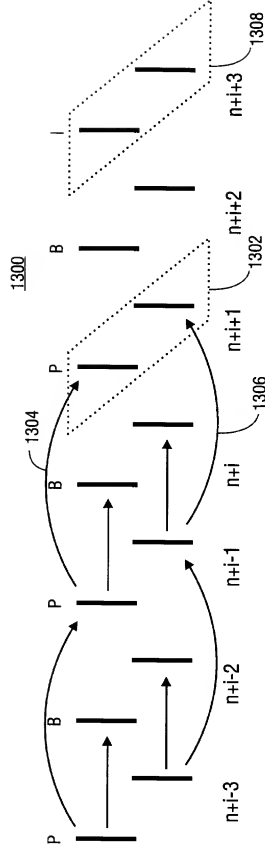


FIG. 13

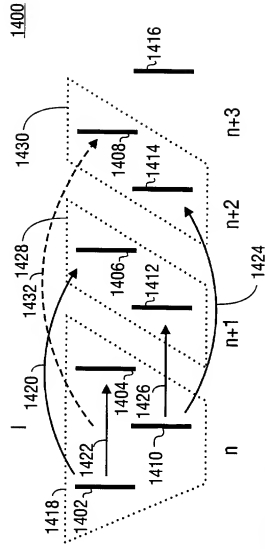


FIG. 14

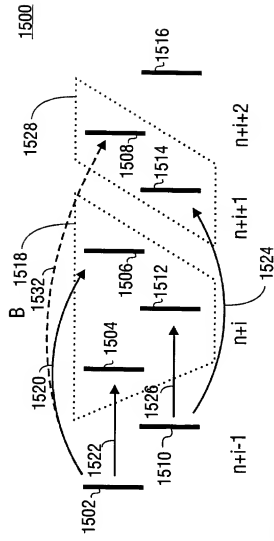


FIG. 15

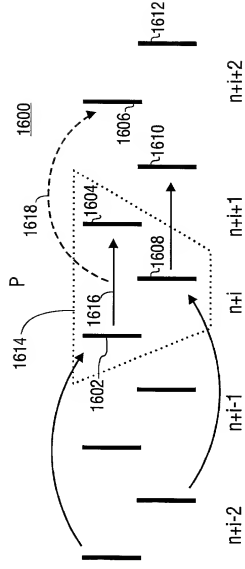
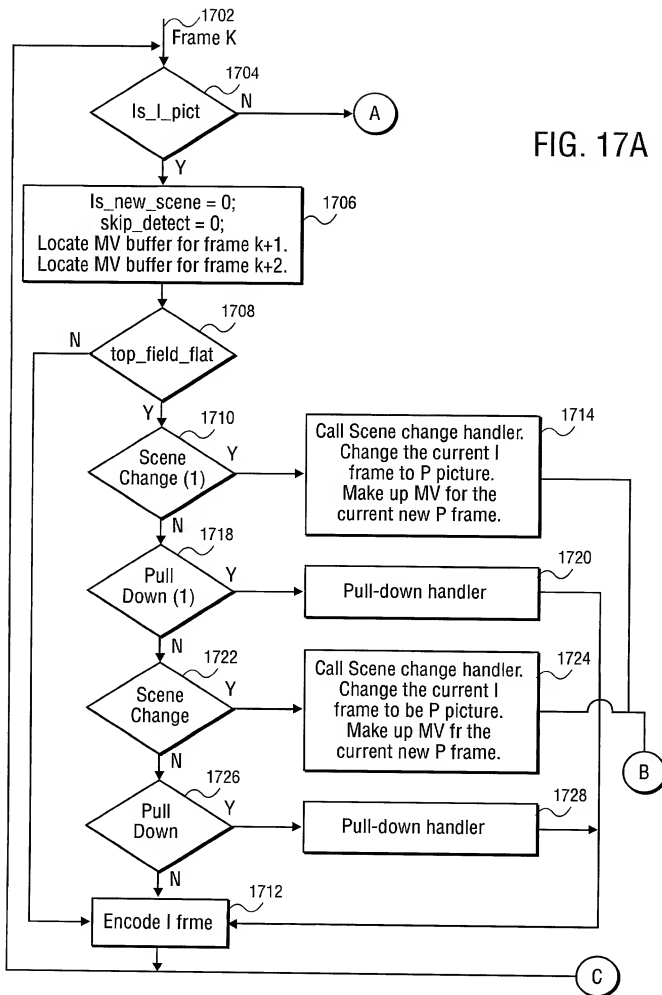


FIG. 16

FIG. 17A



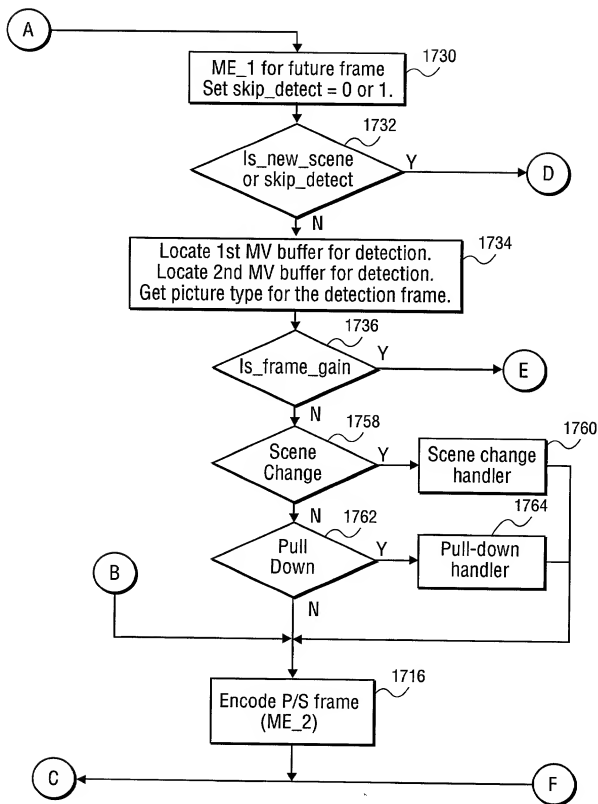


FIG. 17B

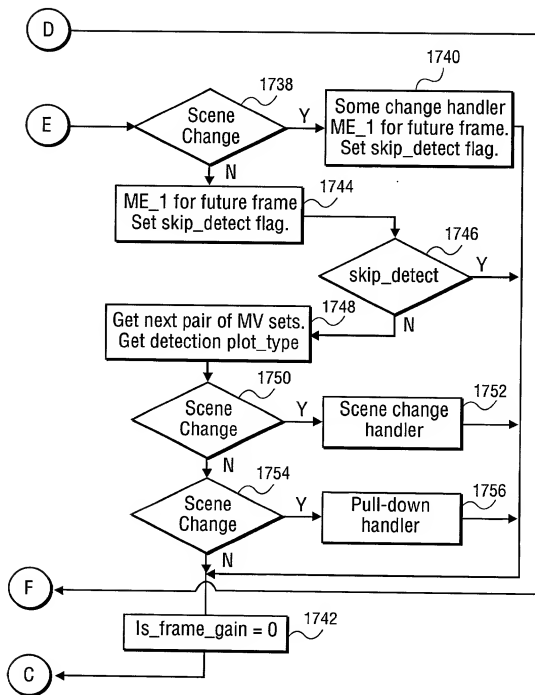


FIG. 17C

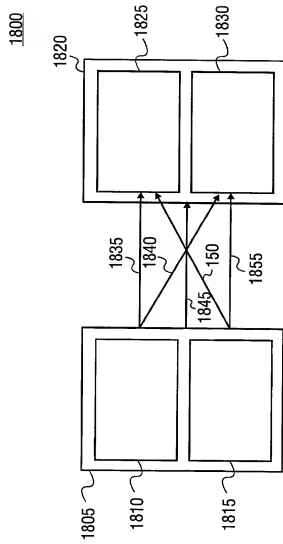


FIG. 18A

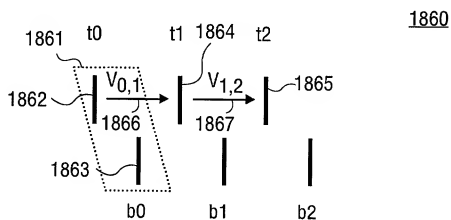


FIG. 18B

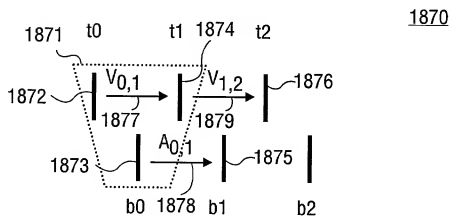


FIG. 18C

Bottom-field First

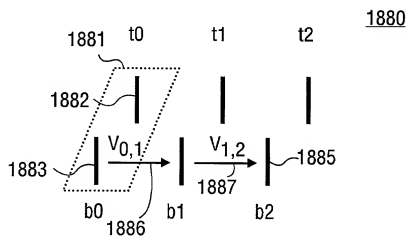


FIG. 18D

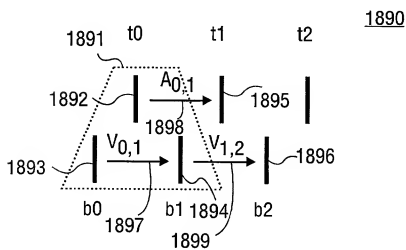


FIG. 18E

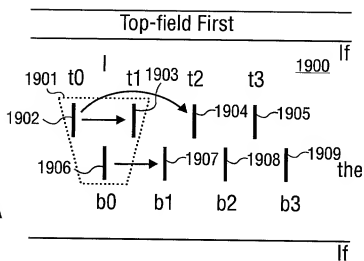


FIG. 19A

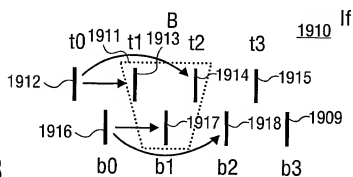


FIG. 19B

the

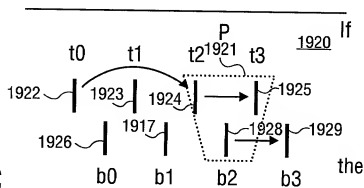


FIG. 19C

the

FIG. 19D

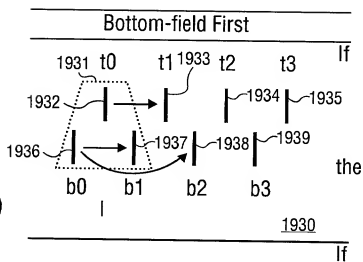


FIG. 19E

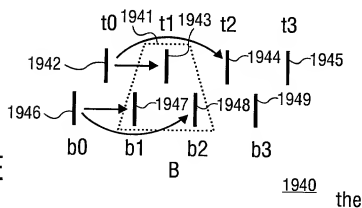
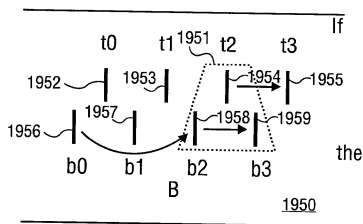


FIG. 19F



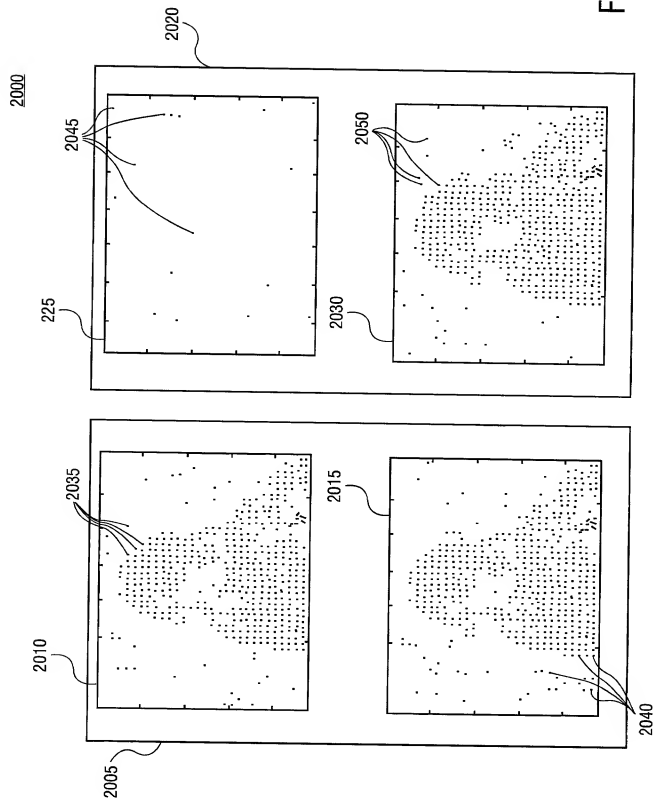


FIG. 20

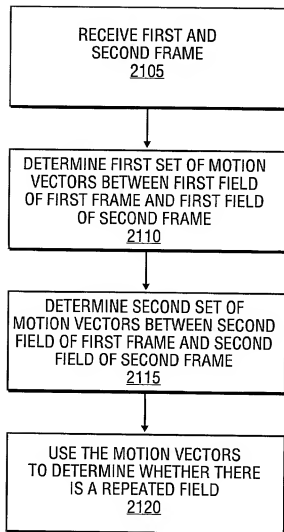


FIG. 21

Bottom-field First

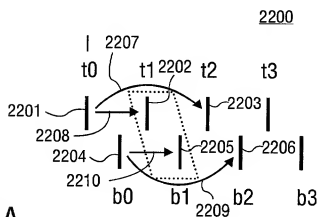


FIG. 22A

the

2220

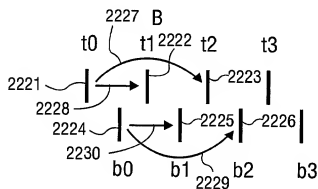


FIG. 22B

the

2240

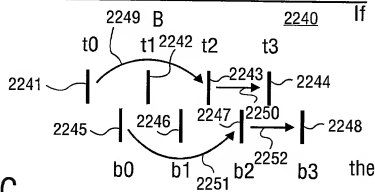


FIG. 22C

the

2260

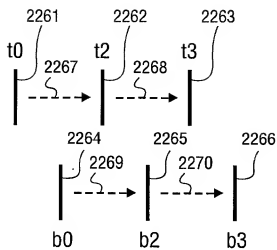


FIG. 22D

2280

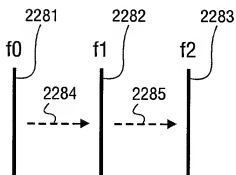


FIG. 22E

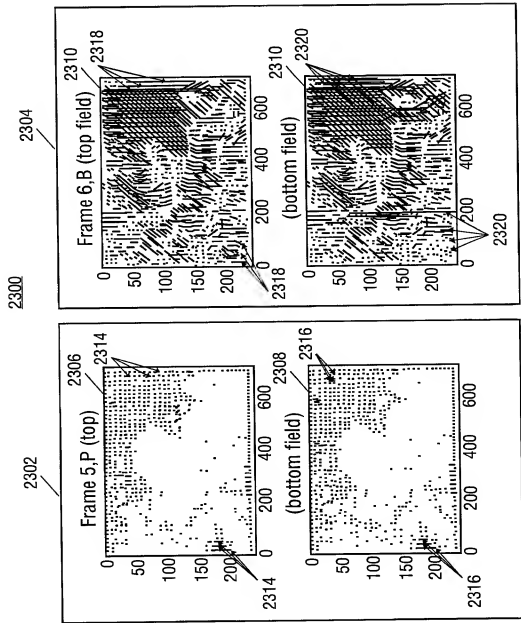


FIG. 23

DETERMINE MOTION VECTORS
BETWEEN FIELDS OF SAME
POLARITY
2402

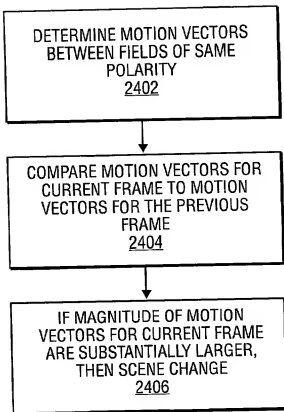


FIG. 24